

บทพิมพ์วิชาการ

## มาრ์เกอร์ของเนื้องอกระบบประสาท\*

วีระ กาสาณติกุล\*\*

Kasantikul V. Markers of tumours of the nervous system. Chula Med J 1990 Sep; 34(9): 713-726

*In this review, neural and non-neuronal cellular markers are described. A summary of the application of these markers in the investigation of various tumours of the nervous system is given. Although immunohistochemistry has proven to be a valuable tool in histopathological diagnosis, its interpretation of cells must be made with considerable reservation. The identification of cells should be based on information that can be obtained by other available morphological methods. Presence of unexpected immunoreactivity may be caused by cross reactivity or by nonspecific binding to endogenous protein. On the other hand, absence of reactivity does not necessarily mean lack of the antigen.*

Reprint request : Kasantikul V, Department of Pathology, Faculty of Medicine, Chulalongkorn University, Bangkok 10330, Thailand.

Received for publication. July 26, 1990.

\* ได้รับทุนส่งเสริมอาจารย์ผู้อุทิศตนเป็นนักวิชาการของคณะแพทยศาสตร์ จุฬาลงกรณ์มหาวิทยาลัย พ.ศ. 2531-2534

\*\* ภาควิชาพยาธิวิทยา คณะแพทยศาสตร์ จุฬาลงกรณ์มหาวิทยาลัย

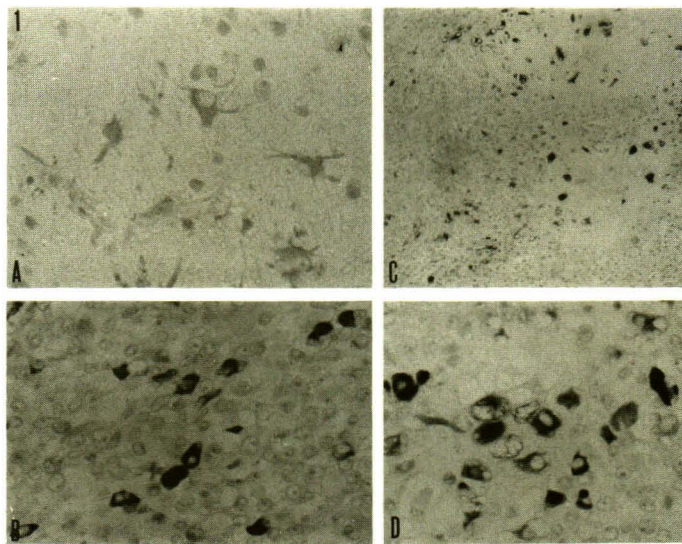
ในปัจจุบัน วิธีการอัมมิวนิชโนฮิสโตรเคมีได้มีการพัฒนามากเนื่องจากวิธีการนี้สามารถใช้กับชิ้นเนื้อที่เตรียมไว้ตรวจสอบกล้องจุลทรรศน์ และกล้องจุลทรรศน์อีเลคทรอนทำให้พยาธิแพทช์สามารถให้การวินิจฉัยโรคต่าง ๆ โดยเฉพาะเนื้องอกได้อย่างถูกต้อง ข้อมูลที่ได้รับจากการศึกษาทางอัมมิวนิชโนฮิสโตรเคมีให้ประโยชน์อย่างยิ่งเกี่ยวกับโครงสร้างและหน้าที่ของเซลล์ (structural and functional components of cells) จำนวนแอนติเจน (antigen) ของเซลล์ ถูกค้นพบมากขึ้น และแอนติบอดี (antibody) ต่าง ๆ ก็ได้ถูกนำมาใช้ประโยชน์ในการวินิจฉัย แอนติบอดี หลายตัวได้รับการยอมรับว่ามีคุณค่าในด้านวินิจฉัยถึงแม้แอนติบอดีบางตัวอาจจะไม่มีความจำเพาะ (specificity) เนื่องจากอาจทำปฏิกิริยาต่อเซลล์หรือเนื้อเยื่อหลายชนิดด้วยกัน เช่น เอส - 100 โปรตีน (S-100 protein), เกลียลไฟบริลลารี อคิดิก โปรตีน (glial fibrillary acidic protein or GFAP), นิโตรนสเปเชฟิค- อีโนเลส (neuron-specific enolase) เป็นต้น<sup>(1-3)</sup> จำนวนแอนติบอดีที่จะนำมาใช้เป็นมาrk (marker) สำหรับเนื้องอกระบบประสาทมีมากมายซึ่งอาจสรุปได้ดังนี้

### 1. อินเตอร์เมดี้ทฟิลาเมนท์ (Intermediate filament)

เป็นพากโพลี咿ปไทด์ (polypeptide) ที่มีน้ำหนักโมเลกุลระหว่าง 40 ถึง 70 kD และมีขนาดเส้นผ่า

ศูนย์กลางอยู่ระหว่างไมโครทิบูล (microtubule, 22-25 nm) กับไมโครฟิลามนท์ (microfilament 5-7 nm) อาจแบ่งย่อยออกได้เป็น 5 กลุ่มดังนี้

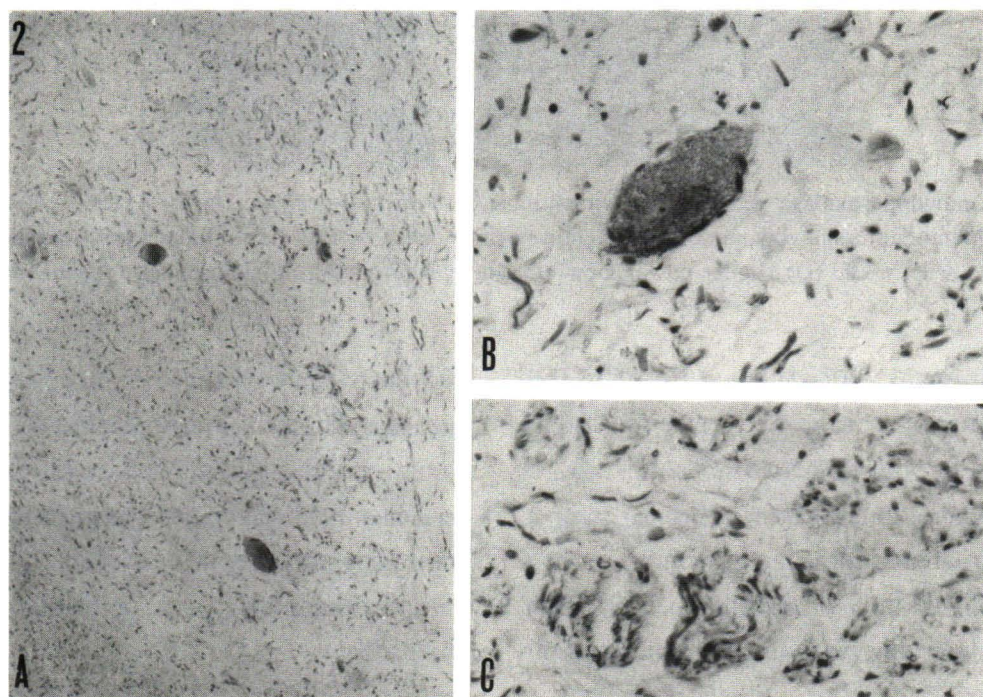
ก. GFAP มีน้ำหนักโมเลกุลระหว่าง 48-52 kD เป็นส่วนประกอบสำคัญของเกลียลไฟเบอร์ (glial fiber) เดิมเชื่อว่ามีความจำเพาะต่อเกลียลเซลล์โดยเฉพาะแอลตราซัยท์ (astrocytes) (ภาพ 1A), อีเพนดิยมา (ependyma) และเนื้องอกหั้งชนิด แอลตราซัยโตมา (astrocytoma) (ภาพ 1B) และอีเพนดิยโมมา (ependymoma) สำหรับโอลิโกรเดนโตรซัยท์ (Oligodendrocyte) จะให้ผลลบ แต่เมื่อเป็นเนื้องอกโอลิโกรเดนโตรไกลโภมา (Oligodendroglioma) จะให้ผลบวกต่อ GFAP<sup>(4,5)</sup> อย่างไรก็ตามมีผู้พบว่า GFAP อาจให้ผลบวกต่อเซลล์เนื้องอกอื่น ๆ ที่อยู่นอกระบบประสาท เช่น พลีโอมอร์ฟิกโอดีโนมา (pleomorphic adenoma) ของต่อมน้ำลาย, คอร์โดมา (chordoma) ตลอดจนเซลล์ที่ไม่ใช่เกลียลเซลล์ เช่น เซลล์ของกระดูกอ่อนและกระดูก (ภาพ 1C,D) ชوانน์เซลล์ (Schwann cells) เป็นต้น<sup>(1,6-8)</sup> ถึงแม้ GFAP จะมีปฏิกิริยาต่อเซลล์อื่น ๆ นอกระบบประสาทก็ตาม พยาธิแพทช์โดยเฉพาะประสาทพยาธิแพทช์ก็ยอมรับกันว่า GFAP ยังมีคุณค่าอย่างมากในการวินิจฉัยโรคโดยเฉพาะเนื้องอกของระบบประสาทและยังใช้ในการวินิจฉัยเพื่อดูการพัฒนาหรือแตกตัวของเซลล์เนื้องอกหลายชนิด เช่น เมดัลโลบลัสโตมา (medulloblastoma), หรือ เรตินโบลัสโตมา (retinoblastoma) เป็นต้น<sup>(1,9)</sup>



**Figure 1.** Immunoreactivity for glial fibrillary acidic protein. (A) Large reactive astrocytes with processes.  $\times 400$  (B) Numerous GFAP-positive neoplastic astrocytes.  $\times 400$  (C) Astrocytoma with areas of cartilage. Note GFAP-positive cells including neoplastic glial cells and chondrocytes.  $\times 200$  (D) Intense cytoplasmic staining for GFAP of chondrocytes.  $\times 400$

ข. นิวโรฟิลามน์ (Neurofilament) เป็นโปรตีนที่รวมตัวกันเป็นจำนวนมากประกอบเป็นส่วนของบอดีของนิวโron (neuronal body) และแอกซอน (axon) มีอยู่ 3 subunits ด้วยกัน โดยมีน้ำหนักโมเลกุลขนาด 68,145 และ 200 kD<sup>(10)</sup> ชนิดหลังจะเกิดขึ้นภายหลังและเป็นส่วนประกอบที่สำคัญ (major determinant) ของแอกซอน จึงใช้เป็นมาร์เกอร์สำคัญของนิวโronในระยะต่าง ๆ กันโดยเฉพาะเมื่อ

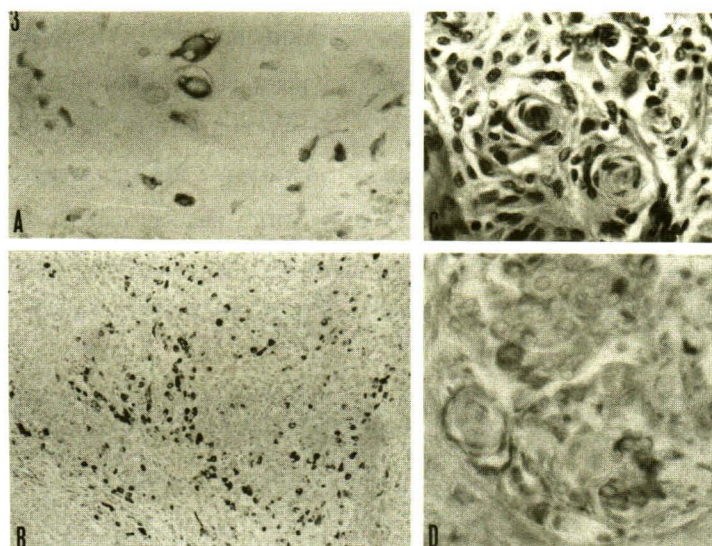
เป็นเนื้องอก อาทิเช่น เนื้องอกของซิมพาเทติก (sympathetic tumors) ได้แก่ แแกงกลิโโนนิวโรมา (ganglioneuroma) (ภาพ 2) นิวโรblastoma (neuroblastoma), เนื้องอกของพาราแแกงกลิโอนิคเซลล์ (paraganglionic cells) เช่น ฟีโโครโนซัยโตมา (pheochromocytoma), คาร์ซิโนಯด์ (carcinoid) และยังช่วยบ่งชี้ว่าเซลล์เนื้องอกบางอย่างมีการแตกตัวเป็นนิวโron เช่น เม็ดลิบลัสโตมา และเรติโนบลัสโตมา<sup>(10-12)</sup>



**Figure 2.** (A) Immunostain for neurofilament (NF) in ganglioneuroma.  $\times 100$  (B) High power view of NF-positive ganglion cell.  $\times 400$  (C) Neurofilaments accumulate in the nerve fibers.  $\times 400$

ค. ไวนเมนติน (Vimentin) โปรตีนชนิดนี้มีน้ำหนักโมเลกุล 57 kD พบรูปในเซลล์ปกติและเซลล์เนื้องอกที่มาจากการเนื้อยื่อมเช่นคายม์ (mesenchyme) อาทิเช่น เซลล์บุพนังหลอดเลือด (endothelial cells), เซลล์กระดูกอ่อน (ภาพ 3A), ไฟbroblast (fibroblasts), ลิมโฟไซท์ (lymphocytes), และเซลล์กล้ามเนื้อเรียบ (smooth muscle cells) เป็นต้น<sup>(13)</sup> นอกจากนี้ยังพบในเกลียลเซลล์ตัวอ่อน (immature glial cells) แต่เมื่อ GFAP มีจำนวนมากขึ้น ไวนเมนตินก็

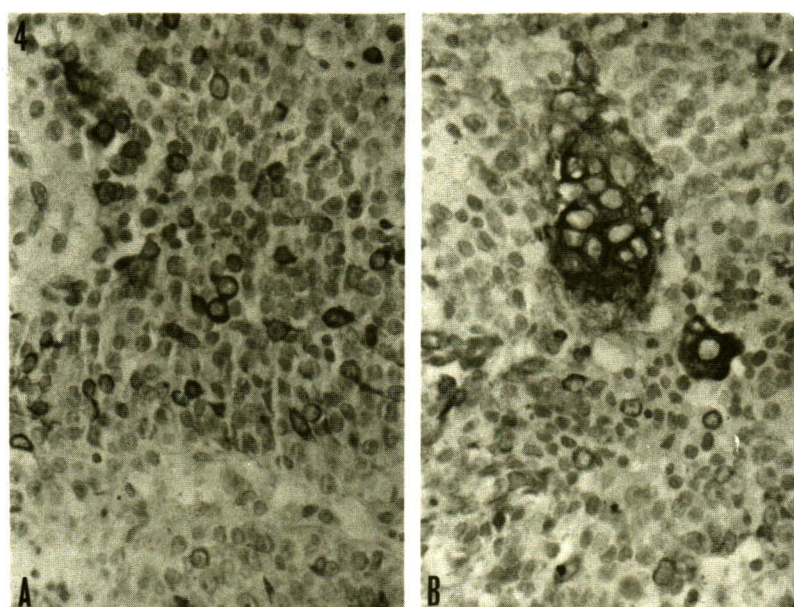
จะลดจำนวนลง ดังนั้นเนื้องอกระบบประสาทที่ให้ผลบวกต่อไวนเมนติน มีอยู่หลายชนิดด้วยกัน เช่น เมนิงจิโ oma (meningioma) (ภาพ 3B,C,D), ฮีแมงจิโอลัสโตมา (hemangioblastoma), ลิมโฟมา, คอร์โดมา, เมลาโนมา (melanoma) สำหรับเนื้องอกปลอกประสาท (nerve sheath tumor) จะให้ผลบวกต่อทั้ง GFAP และ ไวนเมนติน<sup>(8,14)</sup> บางครั้งไวนเมนตินอาจให้ผลบวกร่วมกับเคราติน (keratin) ต่อเนื้องอกที่มาจากการເພີ້ນເລີຍມ<sup>(15)</sup>



**Figure 3.** Immunoperoxidase reaction for vimentin. (A) Vimentin-positive chondrocytes.  $\times 400$ . (B) Meningioma showing numerous vimentin-positive cells.  $\times 100$  (C) Cellular whorls in meningioma. H & E  $\times 200$  (D) Higher-power view of cellular whorls with immunostained for vimentin  $\times 400$

๓. ชัยโตเคอรัติน (cytokeratin) เป็นโปรตีนเปปไทด์ที่มีน้ำหนักโมเลกุลประมาณ 40 ถึง 68 kD มักพบในเอพิธีเลียมและเซลล์เนื้อร้ายโดยเฉพาะพวกพาร์บิดิฟเพอเรนติอे�เตด คาร์ซิโนมา (poorly differentiated carcinoma) (ภาพ 4) แต่ก็อาจให้ผลบางกต่อเซลล์เนื้องอกที่มาจากการเนื้อเยื่อเมะเสนาคัยมีได้ เช่น เมโซธิลิโอม่า (mesothelioma), เมนิงจิโอม่า, คอร์โนมา<sup>(10)</sup> โดยอาจพบร่วมกับไวนิเมนติน ส่วนใหญ่แล้วมัก

ใช้ชัยโตเคอรัตินเพื่อวินิจฉัย carcino-matoid carcinoma (secondary carcinoma) ที่แพร่ร้ายบังสมองหรือไขสันหลัง และใช้หาส่วนประกอบของเนื้องอกที่เป็นเอพิธีเลียม เช่นใน เทอราโนมา (teratoma), เยอร์มเซลล์ทูเมอร์ (germ cell tumor), หรือใน ไกลโอบลาสโนมา และ ไกลโօซาร์โคมา (gliosarcoma) ที่มีกลุ่มเซลล์คล้ายเอพิธีเลียม (epithelial-like areas) ปนอยู่<sup>(10,16,17)</sup>



**Figure 4.** (A) Metastatic poorly differentiated carcinoma showing cytokeratin-positive cells.  $\times 400$  (B) Cluster of neoplastic cells with intense cytoplasmic staining for cytokeratin.  $\times 400$

จ. เดสมิน (Desmin) เป็นโปรตีนที่มีน้ำหนักโมเลกุล 53 kD ให้ผลบวกต่อเซลล์กล้ามเนื้อเรียบและกล้ามเนื้อลาย (striated muscle) (ภาพ 5) รวมทั้งเนื้องอกของเซลล์กล้ามเนื้อ<sup>(18)</sup> เนื่องจากเนื้องอกกลุ่มนี้เกิดในระบบประสาทค่อนข้างน้อย บทบาทของเดสมินจึงมีจำกัด อาจใช้ใน

กรณีของเทอราโตมาที่มีกล้ามเนื้อป่น หรือเนื้อร้ายชนิดแอบ朵มัยโօซาร์โcoma (rhabdomyosarcoma) ของสมอง หรือใช้ช่วยวินิจฉัย ในกรณีที่มีการแพร่กระจายของแอลวีโօลาร์แรบ朵มัยโօซาร์โcoma (alveolar rhabdomyosarcoma) มากยังระบบประสาทเป็นต้น<sup>(18)</sup>

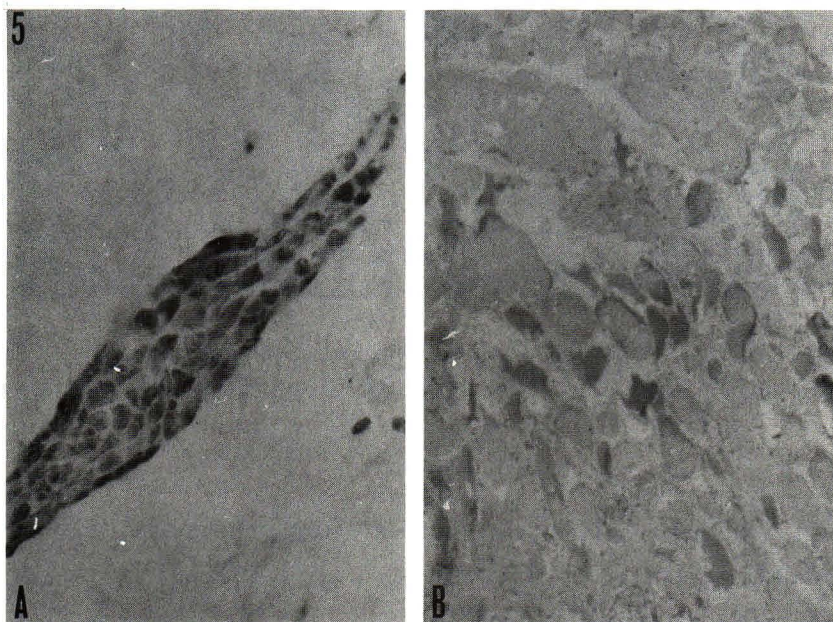


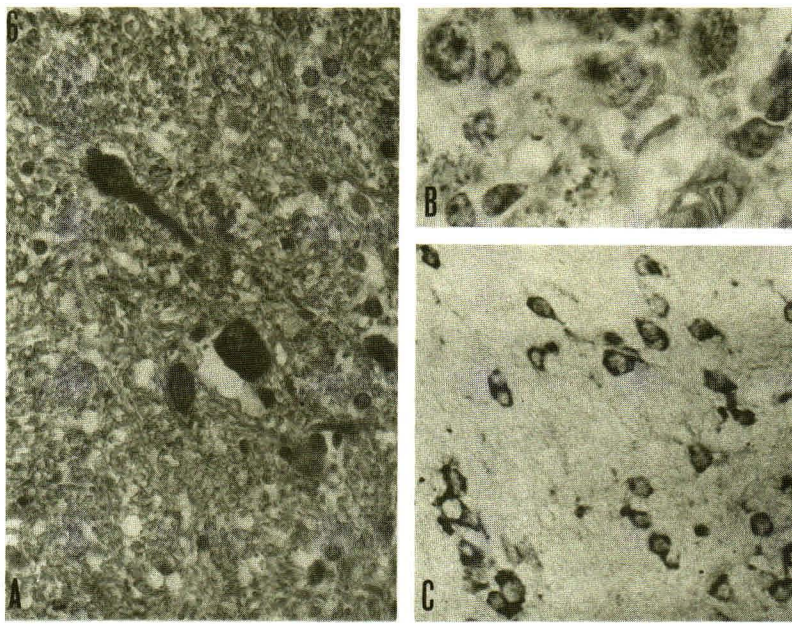
Figure 5. Immunoreactivity for desmin is seen as dark fibers. (A) Smooth muscle.  $\times 400$  (B). Striated muscle.  $\times 400$

## 2. เอนซัยม์ของระบบประสาท (Nervous system-related enzymes) มืออยู่หลายชนิดด้วยกันที่มีการนำมาใช้เป็นมาร์เกอร์ของเนื้องอกระบบประสาท ได้แก่

ก. นิวโโนนสเปเชิฟิก-อีโนเลส หรือเดิมเรียกว่า 14-3-2 โปรตีน มืออยู่ 3 subunits คือ ชนิด แอลฟ่า ( $\alpha$ ), เบต้า ( $\beta$ ), และแกรมเม่ ( $\gamma$ ) โดยมีน้ำหนักโมเลกุลอยู่ระหว่าง 40 ถึง 50 kD ด้วยกัน ไอโซเอนซัยม์ (isoenzyme) ชนิด  $\gamma\gamma$  และ  $\alpha\gamma$  จะให้ผลบวกต่อนิวโโนนในระยะต่าง ๆ (ภาพ 6A) และเซลล์ในระบบ APUD (amine precursor uptake and decarboxylation)<sup>(19,20)</sup> ดังนั้น เอนซัยม์ชนิดนี้จึงเป็นมาร์เกอร์สำหรับเนื้องอกหลาย ๆ ชนิด อาทิเช่น เมดัลโลบลาสโตมา, เรติโนมา (ภาพ 6B,C), ไฟเนียโลมา (pinealoma)

นอกจากนี้ยังให้ผลบวกต่อไกลโอม่า, ชวนโนโนมา, เมนิงจิโ oma, คอรอยด์เพลกซัสแบปปิลโลมา (choroid plexus papilloma)<sup>(9,10,21,22)</sup> ทำให้เอนซัยม์นี้ขาดความจำเพาะไป และจะต้องใช้ความสามารถดั้งเดิมในการแปลผล อย่างไรก็ตามในปัจจุบันยังเป็นที่ยอมรับว่า เอนซัยม์นี้ยังมีคุณค่าที่จะใช้เป็นมาร์เกอร์สำหรับนิวโโนน และเซลล์ในกลุ่มนิวโโนเอนโดครีน (neuroendocrine) สำหรับส่วนที่เป็น เบต้า ( $\beta$ ) นั้นอาจใช้เป็นมาร์เกอร์ สำหรับกล้ามเนื้อแต่ก็ไม่มีความจำเพาะ<sup>(23)</sup>

ข. ทัยโรซีน อี้ดรอคิลเลส (Tyrosine hydroxylase) เป็น เอนซัยม์ ที่ให้ผลบวกต่อแกงกลิโօไกลโอม่า (ganglioglioma) และยังให้ปฏิกิริยาต่อเซลล์ของพีโօโครโนซัยโตมา, พาราแกงกลิโօมา และนิวโโนบลาสโตมา<sup>(24)</sup>



**Figure 6.** (A) Neurons in the pons showing neuron-specific enolase-positive perikaryon.  $\times 400$  (B) Neoplastic neurons in retinoblastoma. H & E  $\times 400$  (C). Groups of NSE-positive neurons in retinoblastoma.  $\times 400$

ค. กลูตามีนชีนไฮทีส (glutamine synthetase) เป็นซัพโคลาสมิกเอนไซม์ที่ให้ผลบวกต่อแอสโตรซัยโตรมา และในเมดัลโลบลาสโตรมา ที่มีการแตกตัวเป็นแอสโตรซัยท์ดังนั้นจึงมีประโยชน์ในการวินิจฉัยเนื้องอกไกลโอดามาโดยเฉพาะชนิด พัร์ดิฟเพอร์เนติอีเตตไกลโอดามาที่มีเกลียลไฟบริลล้อย(25)

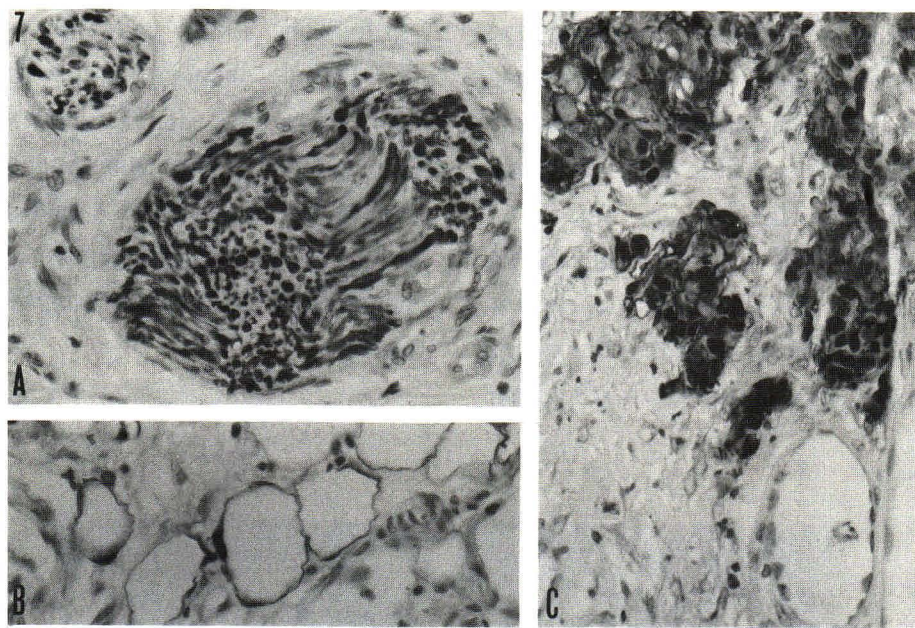
ง. แอลดอลอส ซี (Aldolose C) เป็นไอโซเอนไซม์ที่ให้ผลบวกต่อแอสโตรซัยท์ปกติและที่เป็นเนื้องอก แอสโตรซัยโตรมา (differentiated astrocytoma)(26)

จ. คาร์บอนิกแอกไซด์เรดส ซี (Carbonic anhydrase C) เป็นเอนไซม์ที่เดิมพบร่วมกับไอกลโอดเคนโตรซัยท์ และมูลเลอร์เซลล์ (Muller cells) ของจอตา (retina) อย่างไรก็ตาม ประมาณ 25 เปอร์เซ็นต์ของเนื้องอกไอกลโอดเคนโตรไกลโอดามา จะทำปฏิกิริยาต่อเอนไซม์นี้ ยิ่งกว่าเนื้องอก แอสโตรซัยท์ และนิวโронข้างเคียง ก็ให้ผลบวกด้วย จึงทำให้เอนไซม์นี้ขาดความจำเพาะ(27,28)

ฉ. แคลซีนิวрин (calcineurin) เอนไซม์ชนิดนี้ให้ผลบวกต่อนิวโronของเนื้องอกระบบประสาท เช่น เมดัลโลบลาสโตรมา และเรติโนบลาสโตรมา(29)

### 3. กลุ่มนิรัล-รีเลเตต์โปรตีน (Neural-related protein) ในกลุ่มนี้มีหลายชนิดที่นำไปใช้เป็นมาร์เกอร์สำหรับเนื้องอกระบบประสาทได้แก่

ก. เอส-100 โปรตีน มีนาหันกโมเลกุลค่อนข้างต่ำ จัดเป็นกลุ่มแรกที่นำมาใช้เป็นมาร์เกอร์สำหรับเนื้องอกระบบประสาทกลางและปลาย ระยะแรกพบว่าให้ผลบวกต่อเซลล์ใน ๆ ของเนื้อเยื่อเมชานคัม เช่น เซลล์กระดูกอ่อน, เซลล์ไขมัน (ภาพ 7B), เมลากอนชัยท์ (melanocyte) ตลอดจนเนื้องอกที่เกิดจากเซลล์เหล่านี้(10,30-32) สำหรับเนื้องอกของระบบประสาทกลางพบว่า เอส-100 โปรตีนให้ผลบวกต่อเนื้องอกไกลโอดามา เช่นเดียวกับ GFAP จึงทำให้โปรตีนชนิดนี้ขาดความจำเพาะ อย่างไรก็ตาม มาร์เกอร์นี้ยังให้ประโยชน์มากในการวินิจฉัยกลุ่มเมลากอนติกทูเมอร์ (amelanotic tumor)(10) (ภาพ 7C) ในระยะหลังมีผู้พยายามใช้โมโนโคลนัลแอนทิบอดีของเอส-100 โปรตีนพบว่าจะให้ผลบวกต่อ แอสโตรซัยโตรมา, อีเพนดิมومา, ไกลโอดามา, ชวนน์โนมา, และเครนิโอฟาริงจิโอม่า (craniopharyngioma) และไม่พบปฏิกิริยานในไอกลโอดเคนโตรไกลโอดามา, เมนิงจิโอม่า, นิวโอบลาสโตรมา และเมดัลโลบลาสโตรมา(33)



**Figure 7.** Immunoperoxidase stain for S-100 protein. (A) Bundles of peripheral nerve displaying S - 100 positivity.  $\times 400$  (B) Fat cells are stained positively for S - 100 protein.  $\times 400$  (C) Amelanotic melanoma showing groups of S - 100 - positive cells.  $\times 400$

ข. เรตินัลเอส-แอนติเจน (Retinal S-antigen) มีน้ำหนักโมเลกุล 50 kD พบในเซลล์รับภาพของจอตา (retinal photoreceptor cells) และไฟนีย์โลซัยท์<sup>(35-37)</sup> ดังนั้นจึงให้ผลบวกต่อเนื้องอกเรตินาโนบลาสโนมา, ไฟนีย์โลซัยโนมา, และเมดัลโนบลาสโนมาซึ่งจัดเป็นเนื้องอกในกลุ่มเดียวกัน<sup>(38,39)</sup> แต่ให้ผลบวกต่อนิวโรบลาสโนมา และนิวโรซัยโนมา

ค. มัยอีลินเบสิกโปรตีน (Myelin basic protein หรือ MBP) เป็นโปรตีนที่มีน้ำหนักโมเลกุล 18 kD พบในปลอกมัยอีลิน และในโอลิโกเดนโตรซัยท์ ที่ยังไม่เจริญเต็มที่ (immature oligodendrocytes)<sup>(40)</sup> สำหรับปฏิกิริยาต่อเนื้องอกปลอกประสาทและในเนื้องอกโอลิโกเดนโตรไกลโนมา ยังเป็นที่ถูกเดียงอยู่<sup>(27,41-44)</sup>

ง. มัยอีลิน-แอสโซซิเอเตด กลัยโคโปรตีน (Myelin-associated glycoprotein หรือ MAG) โปรตีนชนิดนี้เช่นเดียวกับ MBP พบในโอลิโกเดนโตรซัยท์ ที่ยังไม่เจริญเต็มที่, ชوانน์เซลล์และในมูลเลอร์เซลล์ของจอตา<sup>(45,46)</sup> สำหรับเนื้องอกที่ให้ปฏิกิริยาต่อ MAG ได้แก่ โอลิโกเดนโตรไกลโนมา จำนวนน้อย และเซลล์ที่อาจให้ผลบวกต่อ MAG มักจะให้ผลบวกต่อ GFAP ด้วย<sup>(10)</sup>

4. นิวโรกรานสมิตเตอร์และนิวโรเปปป์ไทต์ (Neurotransmitter and neuropeptide) มีรายงานการพบนิวโร

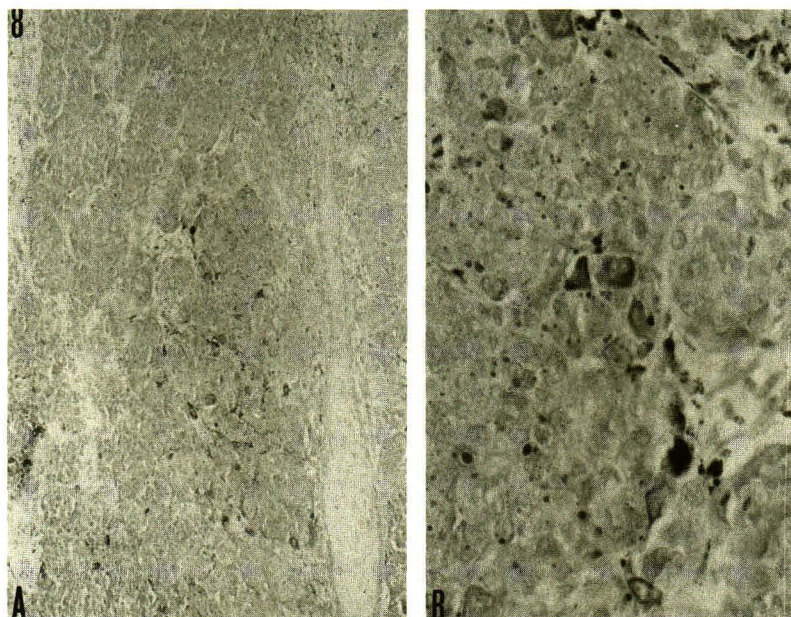
เปปป์ไทต์ในกลุ่มนี้องอกพาราแแกงกลิโ莫มาเพิ่มจำนวนขึ้นเรื่อยๆ อาทิเช่น การพบเมทีโธโนนแอนแคഫอลิน (methionine enkephalin), เวโซแอคตีฟ อินเทสตินัล เปปป์ไทต์ (vasoactive intestinal peptide), ໂກຮ່ອມໂນ-ຮີລື້່ງແພດຕອວ (growth hormone-releasing factor), ໂສມາໂຕສເຕດິນ (somatostatin), ເບຕາເອນໂດຣິຟິນໃນແກງກລິໂອຍໂຕມາ, ສີໂຣໂຕນິນ (serotonin) ในพาราແກງກລິໂອມາ เป็นต้น<sup>(49)</sup>

5. กລຸມນອນ-ນິວຮັດແອຕ ມາຮັກໂອຕີ (Non-neuronal associated markers) มีหลายตัวด้วยกันที่ใช้ในการวินิจฉัยเนื้องอกทั้งของระบบประสาทกลางและปลายได้แก่

ก. เອพິຫີເລື່ອລເມນເບຣນແອນທີເຈນ (Epithelial membrane antigen หรือ EMA) เป็นกลัยโคโปรตีนที่ใช้เป็นมาร์ກັറสำหรับເອພິຫີເລື່ອມที่ปกติและของเนื้อร้ายชนิด carcinoma ให้ประโยชน์อย่างมากในการแยก พ້າວິດຝີເພຣເນຕີເອຕີດ ດາວີໂນມາ หรือ ອານພລາສຕິຄສມອລັ້ນເຊລັດຄາຣີໂນມາ (anaplastic small cell carcinoma) จากລິມໂພມາ EMA ยังให้ผลบวกต่อเนื้อเยื่อໃນໄຕໂຄຣດ (notochord) และเนื้องอกໂຄຣໂໂມ<sup>(50)</sup>, เนื้องอกของເມເຊັນຄັນມີ ເຊັນມີໂຊຮີລິໂອມາ ຂອງເຢືອຫຼຸມປອດ, ເອພິຫີລີໂອຍດ້ຈຳກຳໂມາ (epithelioid sarco-

ma) สำหรับเนื้องอกของระบบประสาทพบว่าจะให้ผลบวกต่อมนิงจิโอม่า (ภาพ 8) และยังอาจให้ผลบวกบางรายต่อ อีเพนดิโนมา, แอกซ์โทรซัมป์โนมาอย่างร้าย, และไกลโอดาร์โนมา หรือ ไกลโอบลาสโนมาที่มีบริเวณคล้ายเอพิธีลีเยนแต่จะให้ผลลบต่อโอลิโกริดน็อโรไกลโอดาร์โนมา และชวนน์โนมา<sup>(10,51-53)</sup> ดังนั้นจึงอาจใช้ EMA ใน การแยกเมนิงจิโอมามาออกจากชวนน์โนมา หรือช่วยแยกโอลิโกริดน็อโรไกลโอดาร์โนมา ที่ลักษณะมายังเชื่อมโยงกับการซึโนมาทุติกุณิหรือจากเมนิงจิโอม่า เนื่องจากกลุ่มนิวโรเอนโดไครน์ มักจะ

ไม่มีปฏิกริยาต่อ EMA แต่อาจให้ผลบวกต่อการซึโนบาร์ชีนอยด์ของสำไส้ใหญ่ และหลอดลม และพากเทอร่าโนมาของระบบประสาท และ เยอร์โนโนมา<sup>(10,54-55)</sup> นอกจากนี้ ยังพบว่าพากเพอรินิวเรียลเซลล์มีปฏิกริยาต่อ EMA สำหรับชวนน์เซลล์แสดงผลลบต่อ EMA แต่ให้ผลบวกต่อ เอส-100 โปรตีน และคู-7 (Leu-7) ดังนั้นทั้งเพอรินิวเรียลเซลล์ ชวนน์เซลล์ของเส้นประสาทจึงอาจแยกจากกันโดยมาร์เกอร์ดังกล่าว



**Figure 8.** (A) Meningioma containing few epithelial membrane antigen EMA - positive cells.  $\times 100$  (B) High - power view of EMA positivity in the cytoplasm of tumor cells adjacent the cellular whorls.  $\times 400$

ช. แฟคเตอร์ 8/วอนวิลเลแบรนด์-วีเลเตดแอนทิเจน และ ยูเลคซ์ ยูโรเปียส-1 เลคติน (Factor VIII/Von Willebrand-related antigen and Ulex europaeus-I lectin หรือ UEA-I) ชนิดแรก เป็นพลาสมากลัยโคลิโพรตีนที่สร้างโดยเอนโดธีลีเซลล์ (endothelial cells)<sup>(56,57)</sup> จึงใช้เป็นมาร์เกอร์สำหรับแองจิโอม่า (angioma) (ภาพ 9), แองจิโอดาร์โนมา (angiosarcoma), อีแมงจิโอบลาสโนมา (hamangioblastoma)<sup>(58,59)</sup> เมื่อตรวจด้วยกล้องจุลทรรศน์อิเลคตรอน พบแฟคเตอร์ 8 แอนทิเจน ที่บีริเวนเอนโดพลาสมิกเรติคูลัม (endoplasmic reticulum) , บริเวณ

รอบนิวเคลียส (perinuclear space), และในชัยโตพลาสมิกแควติโอล (cytoplasmic vacuole)<sup>(60)</sup> ส่วน UEA-I เป็นเลคตินที่พบในเอนโดธีลีเซลล์ใช้เป็นมาร์เกอร์สำหรับเนื้องอกของหลอดเลือดแต่จะมีความไวและมีความจำเพาะมากกว่าแฟคเตอร์ 8<sup>(61,62)</sup> สำหรับอีแมงจิโอบลาสโนมานั้นส่วนที่เป็นสโตรมัลเซลล์ (stromal cells) ยังเป็นที่สับสนอยู่มีบางรายงานพบว่าเซลล์พากนี้ให้ผลลบต่อมาร์เกอร์ทั้งสอง<sup>(63,64)</sup> แต่ก็มีผู้รายงานว่าเซลล์กลุ่มนี้ให้ผลบวกต่อแฟคเตอร์ 8<sup>(65)</sup> อย่างไรก็ตามมาร์เกอร์ทั้งสองเป็นที่ยอมรับว่ามีความจำเพาะต่อเนื้องอกของหลอดเลือด

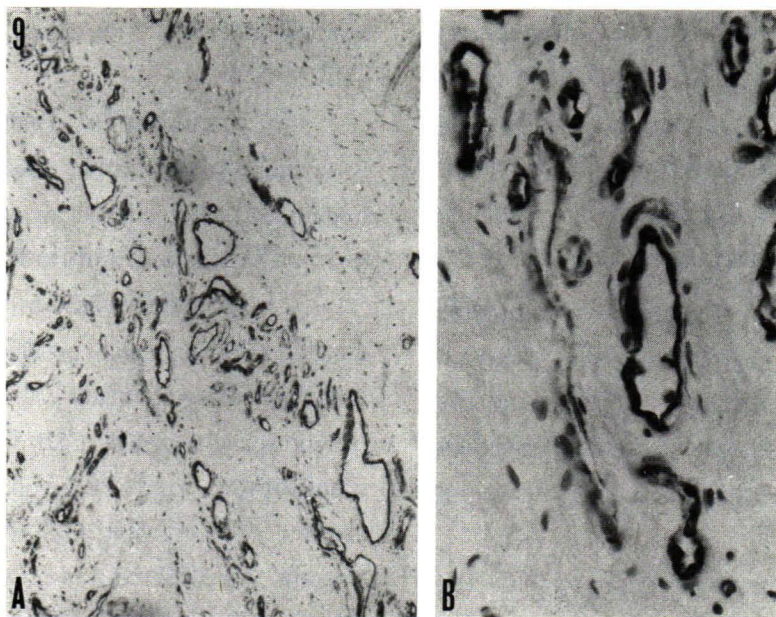


Figure 9. (A) Angioma displaying Factor VIII antigen.  $\times 100$  (B) High-power view of Factor VIII-positive endothelial cells.  $\times 400$

ค. อิมมูโนโกลบูลิน (Immunoglobulin) ส่วนใหญ่แล้วนำไปใช้เป็นมาრ์เกอร์สำหรับแยกชนิดของ ลิมโฟมา ปฐมภูมิของสมอง ซึ่งส่วนใหญ่เป็นชนิดบีลิมโฟมา (B cell lymphoma) สำหรับที่เซลล์ลิมโฟมา (T cell lymphoma) พบได้น้อยในระบบประสาท เช่นเดียวกับที่อวัยวะอื่น ๆ ของระบบประสาท<sup>(66,67)</sup> ผู้ป่วยโรคภูมิคุ้มกันบกพร่องหรือโรคเอดส์ (AIDS) มากเป็นชนิดบีเซลล์ลิมโฟมา<sup>(68)</sup> ผลบวกต่ออิมมูโนโกลบูลินมากเป็นในลักษณะโมโนคลอนัล (monoclonality)<sup>(69,70)</sup> นอกจากนี้ยังพบว่าเมนิงจิโอม่าให้ผลบวกต่อ Ig A และ Ig M แต่ให้ผลลบต่อ Ig G<sup>(71,72)</sup>

ง. เยอร์มเซลล์-รีเลเต็ดโปรตีน (Germ cell-related protein) มีหลายชนิดด้วยกันได้แก่ แอลฟ่า-ฟีโตโปรตีน (alpha-fetoprotein หรือ AFP) เป็นโปรตีนมีน้ำหนักโมเลกุล 70 kD สร้างโดย เซลล์ตับ, โยล์กแซค (yolk sac) และลำไส้ ของคัพภะ ปกติระดับของ AFP จะสูงสุดในระยะ 3-5 เดือนของการตั้งครรภ์ และจะลดลงหลังคลอด สำหรับผู้ใหญ่ ระดับ AFP จะสูงขึ้นในผู้ป่วยด้วยมะเร็งตับ, เอ็มบาร์ยโนนัล คาร์ซิโนมา (embryonal carcinoma) และคาร์ซิโนมาของ อวัยวะอื่น ๆ เช่น ตับอ่อน, กระเพาะอาหาร, ลำไส้ใหญ่, ปอด สำหรับทางด้านอิมมูโนอิสโทເຄີມ จะพบผลบวกของ AFP ในเซลล์เนื้องอกของเยอร์มเซลล์ที่รังไข่, อัณฑะ และสมอง โดยเฉพาะบริเวณไฟเนียล และเหนือเอ่งเซลลา (suprasellar region) เช่น พากเอ็มบาร์ยโนนัล คาร์ซิโนมา, เอ็นโด

เดอร์มัลไซน์สทูเมอร์ (endodermal sinus tumor), และ เทอราโตมาที่ยังไม่สมบูรณ์ (immature teratoma)<sup>(73,74)</sup> แต่ AFP มากให้ผลลบต่อเยอร์มโนมา (germinoma) และ เทอราโตมาที่สมบูรณ์ (mature)<sup>(73,75)</sup> ดังนั้นผลบวกหรือ ลบของ AFP จึงมีความสำคัญในด้านพยากรณ์โรค เพราะ พากเอ็มบาร์ยโนนัล คาร์ซิโนมา และเอ็นโดเดอร์มัลไซน์ส ทูเมอร์ มากเป็นเนื้องอกชนิดร้ายเมื่อเทียบกับเยอร์มโนมา

ชีวแมนකอร์โionic กोโนไดโตรพิน (Human chorionic gonadotropin หรือ HCG) เป็นกลั้ยโคลิโพรตีนที่สร้าง จากโตริโพบลาสติดเซลล์ (trophoblastic cells) ของรก ประกอบด้วย 2 หน่วยย่อย คือ แอลฟ่า และบีต้า ( $\alpha$  and  $\beta$  subunits) ปกติจะพบระดับ HCG ในเลือดสูงในหญิงที่ไม่ได้ ตั้งครรภ์แต่ระดับ HCG จะสูงในชายหรือหญิงที่ไม่ได้ ตั้งครรภ์ เมื่อมีเนื้องอกของโตริโพบลาสติดเซลล์เกิดขึ้นใน ร่างกาย เช่น บริเวณอัณฑะ, รังไข่หรือมดลูก สำหรับ เนื้องอกของระบบประสาทที่ให้ผลบวกต่อ HCG ได้แก่ คอริโคร์ซิโนมาชนิดปฐมภูมิ หรือชนิดทุติยภูมิ, เทอราโตมา, เอ็มบาร์ยโนนัล คาร์ซิโนมา หรือเยอร์มโนมา ที่มีโตริโพบลาสติดเซลล์ปะปนอยู่<sup>(73,76,77)</sup>

คาร์ซิโน-เอ็มบาร์ยโนนิคแอนทิเจน (carcino-embryonic antigen หรือ CEA) เป็นกลั้ยโคลิโพรตีนที่มี น้ำหนักโมเลกุล 200 kD มากพบในเอปิธีเลียม โดยเฉพาะ เซลล์ที่หลังสารเมือก (mucin) ของการกินครรภ์ โดยทั่วไป

CEA จะให้ผลบวกต่อ อเดโนкарซิโนมา (adenocarcinoma) ของทางเดินอาหาร, ดับอ่อน, ปอด, และ เมดัลลารีкарซิโนมา (medullary carcinoma) ของต่อมรัยรอยด์ ดังนั้นเราจึงใช้ CEA ใน การแยก carcinoมาชนิดทุติยภูมิที่แพร่กระจาย มากยังสมองหรือไขสันหลัง พวากเยอร์มิโนมา ให้ผลลบต่อ CEA มีผู้รายงานว่าเมนิงจิโอม่าให้ผลบวกต่อ CEA<sup>(72)</sup>

แบ่งจิโอบาตัน 1- ค่อนเวท์ติงเอนซัยม์ (Angiotensin-1 converting enzyme หรือ ACE) เป็นเอนซัยม์พิบในอัณฑะและเขื้อสุจิ จะให้ผลบวกต่อเยอร์มิโนมาที่บริเวณเหนือเอঁแขঁเซลลา และเซมิโนมาของอัณฑะ (testicular seminoma) แต่ระดับ ACE ในพลาสมามของเนื้องอกชนิดหลังไม่สูง<sup>(78)</sup>

จ. แอนทิเจนร่วมระหว่างเซลล์ประสาทและระบบโลหิต (Antigenic determinants shared between neural and hematopoietic cells) ที่สำคัญที่สุดในกลุ่มนี้ได้แก่ HNK-1 หรือเรียกว่า สู 7 โมโนคลอแลนทิบอดี แต่เดิมเชื่อว่า HNK-1 หรือ Anti-Leu 7 นี้เป็นมาร์เกอร์เฉพาะต่อ NK เซลล์ (natural killer cells) ต่อมาพบว่าแอนทิบอดีนี้มีปฏิกิริยาต่อปลอกมัยอิลิทั้งของไออลิโกเดนโดยรัยท์และชawanน์เซลล์และต่อนิวโรน<sup>(79)</sup> สำหรับเนื้องอกของระบบประสาทปลายพบว่า Anti-Leu 7 ให้ผลบวกต่อชawanโนมา และนิวโรไฟโนรما (neurofibroma)<sup>(80,81)</sup> ดังนั้นเมื่อใช้ร่วมกับ เอส-100 โปรตีนจะช่วยแยกเนื้องอกของปลายประสาಥอกจากเนื้องอกของ soft tissue อื่น ๆ ได้ นอกจากนี้ ฟิโอโตริโนซัยโตาม่า ก็ให้ผลบวกต่อแอนทิบอดีชนิดนี้<sup>(82)</sup> ส่วนเนื้องอกของระบบประสาทกลางพบว่า ทั้งไออลิโกเดนโดยไกลโอม่า และโตริซัยโตาม่า, แอดสโตริบลัสโตาม่า และไกลโอบาสโตามاكให้ผลบวก นอกจากนี้ยังมี เชนทรัลนิวโรซัยโตาม่า (central neurocytoma) ยกเว้นพวากนิวโรบลัสโตาม่า<sup>(83,84)</sup> โดยที่ไม่เป็นนิริโอม่าจะให้ผลลบยกเว้นแต่ชนิดที่มีลักษณะแบบคอร์ดอยด์ (chordoid variant)<sup>(80,85)</sup> เนื้องอกอิสติโอซัยท์โตาม่า (histiocytoma) อาจพบร่วมกับเนื้องอกของเซลล์ประสาท<sup>(86)</sup> จึงขอกล่าวถึง มาร์เกอร์ของอิสติโอซัยท์ได้แก่

- แอลfa-1-แอนทิติโไมทริพซิน (Alpha-1-antichymotrypsin, Alpha-1-ACT) เป็น protease inhibitor ในพลาสมามีน้ำหนักโมเลกุล 68 kD ส่วนใหญ่สร้างขึ้นจากเซลล์ดับ ใช้เป็นมาร์เกอร์สำหรับอิสติโอซัยท์ (histiocytes)

และเรติคิวลัมเซลล์ (reticulum cells) แต่ขาดความจำเพาะ<sup>(86,87)</sup>

- มิวารามิดสหหรือไลโซซัยม์ (muramidase or lysozyme) พิบในสิ่งคัดหลัง (secretion), นิวโทรฟิล(neutrophil), โมโนซัยท์ (monocyte) และ อิสติโอซัยท์จึงใช้เป็นมาร์เกอร์สำหรับเนื้องอกอิสติโอซัยโตาม่า<sup>(86)</sup>

ฉ. ทรานส์ชัยเรตินหรือพรีแอลบูมิน หรือ พรีโปรดอลบูมิน (Transthyretin or prealbumin or preproalbumin) เป็นโปรตีนที่มีในพลาสม่าและในน้ำเหลืองและไขสันหลัง (cerebrospinal fluid หรือ CSF) มีน้ำหนักโมเลกุล 50 kD เมื่อออยู่ในดับจะสร้างโดย yolk sac ต่ำมาจังสร้างโดยเซลล์ดับ สำหรับส่วนที่อยู่ใน CSF น่าจะสร้างโดยคอร์ดอยด์ เพลกาซัส ใช้เป็นมาร์เกอร์สำหรับอิสติชีลี่เมื่อของคอร์ดอยด์ เพลกาซัส และเนื้องอก จึงใช้แยกระหว่างอเดโนมา หรือ แบปปิลโลมาหรืออเดโนкарซิโนมาปฐมภูมิของคอร์ดอยด์ เพลกาซัส ออกจากอเดโนкарซิโนมาทุติยภูมิจากที่อ่อนสูงสมองโดยที่เนื้อร้ายชนิดหลังจะได้ผลลบ<sup>(88)</sup>

6. มาร์เกอร์ของอเดโนมาของต่อมใต้สมอง (markers of pituitary adenomas) เมื่อได้นำวิธีการอิมมิวนอิสต์โคลีมีมาใช้จำแนกชนิดต่าง ๆ ของอเดโนมาของต่อมใต้สมองทำให้แพทย์ได้รับข้อมูลเกี่ยวกับความสัมพันธ์ระหว่างรูปลักษณ์ (morphology) และฮอร์โมนที่เดโนมาหลังออกมา (secretory activity) และนำไปสู่การรักษาที่เหมาะสมต่อไป สำหรับมาร์เกอร์ต่าง ๆ ของอเดโนมาของต่อมใต้สมองได้ ผู้เขียนเคยรายงานมาแล้ว จึงไม่นำมาเสนอในที่นี้<sup>(89,90)</sup>

## สรุป

การทบทวนนี้ได้บรรยายถึงนิวรัลและนอน-นิวรัลมาร์เกอร์ของเซลล์และการนำมาใช้วินิจฉัยเนื้องอกต่าง ๆ ของระบบประสาท ถึงแม้กรรมาธิของอิมมิวนอิสต์โคลีมี จะได้รับการยอมรับว่าเป็นเทคนิคสำคัญที่มีคุณค่ามากในการวินิจฉัยเนื้องอกทางพยาธิวิทยา การแปลผลจะต้องทำอย่างระมัดระวัง และควรอาศัยข้อมูลอื่น ๆ ของพยาธิวิทยามาประกอบ ผลบวกที่ได้จากการย้อมอาจเป็นผลมาจากการปฏิกิริยาไขว้ หรือจากปฏิกิริยาที่ไม่จำเพาะเนื้องາจากโปรตีนอื่นภายในเซลล์ ขณะเดียวกันผลบวกของอิมมิวนอิสต์โคลีมี ก็ไม่ได้หมายความว่า เซลล์นั้น ๆ ไม่มีแอนทิเจนชนิดนั้น

## อ้างอิง

1. Kasantikul V, Shuangshoti S. Positivity to glial fibrillary acidic protein in bone, cartilage, and chordoma. *J Surg Oncol* 1989 May; 41(1) : 22-6
2. Kahn HJ, Marks A, Thom H, Baumal R. Role of antibody to S 100 protein in diagnostic pathology. *Am J Clin Pathol* 1983 Mar; 79(3) : 341-7
3. Haimoto H, Takahashi Y, Koshikawa T, Nagura H, Kato K. Immunohistochemical localization of  $\gamma$ -enolase in normal human tissues other than nervous and neuroendocrine tissues. *Lab Invest* 1985 Mar; 52(3) : 257-63
4. Bignami A, Dahl D. Astrocytic - specific protein and neuroglial differentiation. An immunofluorescence study with antibodies to the glial fibrillary acidic protein. *J Comp Neurol* 1974 Jan 1; 153(1) : 27-38
5. Kasantikul V, Shuangshoti S. Cerebellar medull- oblastoma : A study of 35 cases with particular reference to cellular differentiation. *Surg Neurol* 1986 Dec; 26(6) : 531-41
6. Nakazato Y, Ishizeki J, Takahashi K, Yamaguchi H, Kamei T, Meri T. Localization of S - 100 protein and glial fibrillary acidic protein - related antigen in pleomorphic adenoma of the salivary gland. *Lab Invest* 1982 Jun; 46(6) : 621-6
7. Shuangshoti S, Kasantikul V. Primary intracranial mesenchymal chondrosarcoma. *J Laryngol Otol* 1989 May; 103(5) : 545-9
8. Gould VE, Moll R, Moll I, Lee I, Schwechheimer K, Franke WW. The intermediate filament complement of the spectrum of nerve sheath neoplasms. *Lab Invest* 1986 Oct; 55(4) : 463-74
9. Shuangshoti S, Chaiwun B, Kasantikul V. A study of 39 retinoblastomas with particularly reference to morphology, cellular differentiation and tumour origin. *Histopathology* 1989 Aug; 15(2) : 113-24
10. Perentes E, Rubinstein LJ. Recent applications of immunoperoxidase histochemistry in human neuro-oncology. An update. *Arch Pathol Lab Med* 1987 Sep; 111(9) : 796-812
11. Roessman U, Velasco ME, Gambetti P, Autitito-Gambetti L. Neuronal and astrocytic differentiation in human neuroepithelial neoplasms. An immunohistochemical study. *J Neuropathol Exp Neurol* 1983 Mar; 42(2) : 113-21
12. Trojanowski JQ, Lee V. Anti-neurofilament monoclonal antibodies : reagents for the evaluation of human neoplasms. *Acta Neuropathol* 1983; 59(2) : 155-8
13. Leader M, Collins M, Patel J, Henry K. Vimentin. A evaluation of its role as a tumour marker. *Histopathology* 1987 Jan; 11(1) : 63-72
14. Ramaekers FCS, Puts JJG, Moesker O, Kant A, Huysmans A, Haag D, Jap PH. Antibodies to intermediate filament proteins in the immunohistochemical identification of human tumours. An overview. *Histochem J* 1983 Jul; 15(7) : 691-713
15. Azumi N, Battifora H. The distribution of vimentin and keratin in epithelial and nonepithelial neoplasms. A comprehensive immunohistochemical study of formalin- and alcohol-fixed tumors. *Am J Clin Pathol* 1987 Oct 1; 88(7) : 286-96
16. Nakagawa Y, Perentes E, Ross GW, Ross AN, Rubinstein LJ. Immunohistochemical differences between intracranial germinomas and their gonadal equivalents. An immunoperoxidase study of germ cell tumours with epithelial membrane antigen, cytokeratin and vimentin. *J Pathol* 1988 Sep; 156(1) : 67-72
17. Mork SJ, Rubinstein LJ, Kepes JJ, Perentes E, Uphoff DF. Patterns of epithelial metaplasia in malignant gliomas. II. Squamous differentiation of epithelial - like formations in gliosarcomas and glioblastomas. *J Neuropathol Exp Neurol* 1988 Mar; 47(2) : 101-18
18. Miettinen M, Lehto VP, Badley RA, Virtanen I. Alveolar rhabdomyosarcoma. Demonstration of the muscle type of intermediate filament protein, desmin, as a diagnostic aid. *Am J Pathol* 1982 Aug; 108(2) : 246-51
19. Royds JA, Parsons MA, Taylor CB, Timperley WR. Enolase isoenzyme distribution in human brain and its tumors. *J Pathol* 1982 May; 137(1) : 37-49
20. Tapia FJ, Polak JM, Barbosa AJA, Bloom SR, Marangos PJ, Dermody C. Neuron-specific enolase is produced by neuroendocrine tumours. *Lancet* 1981 Apr 11; 1(8224) : 808-11
21. Royds JA, Ironside JW, Taylor CB, Graham DI, Timperley WR. An immunohistochemical study of glial and neuronal markers in primary neoplasms of the central nervous system. *Acta Neuropathol* 1986; 70(3-4) : 320-6
22. Vinores SA, Bonnin JM, Rubinstein LJ, Marangos PJ. Immunohistochemical demonstration of neuron-specific enolase in neoplasms of the CNS and other tissues. *Arch Pathol Lab Med* 1984 Jul; 108(7) : 536-40

23. Kato K, Ishiguro Y, Suzuki F, Ito A, Semba R. Distribution of nervous system-specific forms of enolase in peripheral tissues. *Brain Res* 1982 Apr; 237(2) : 441-8
24. Kawai K, Takahashi H, Ikuta F, Tanimura K, Honda Y, Yamazaki H. The occurrence of catecholamine neurons in a parietal lobe ganglioglioma. *Cancer* 1987 Oct; 60(7) : 1532-6
25. Pilkington GJ, Lantos PL. The role of glutamine synthetase in the diagnosis of cerebral tumours. *Neuropathol Appl Neurobiol* 1982 May-Jun; 8(3) : 227-36
26. Kumanishi T, Watabe K, Washiyama K. An immunohistochemical study of aldolase c in normal nervous tissues. *Acta Neuropathol* 1985; 67(3-4) : 309-14
27. Nakagawa Y, Perentes E, Rubinstein LJ. Immunohistochemical characterization of oligodendroglomas. An analysis of multiple markers. *Acta Neuropathol* 1986; 72(1) : 15-22
28. Nakagawa Y, Perentes E, Rubinstein LJ. Non-specificity of anti-carbonic anhydrase C antibody as a marker in human neurooncology. *J Neuropathol Exp Neurol* 1987 Jul; 46(4) : 451-60
29. Goto S, Matsukado Y, Mihara Y, Inoue N, Miyamoto E. An immunocytochemical demonstration of calcineurin in human nerve cell tumors. A comparison with neuron-specific enolase and glial fibrillary acidic protein. *Cancer* 1987 Dec 15; 60(12) : 2948-57
30. Ludwin SK, Kosek JC, Eng LF. The topographical distribution of S-100 and GFA proteins in the adult rat brain: an immunohistochemical study using horseradish peroxidase-labelled antibodies. *J Comp Neurol* 1976 Jan 15; 165(2) : 197-208
31. Michetti F, Miani N, De Renzis G. Nuclear localization of S-100 protein. *J Neurochem* 1974 Feb; 22(2) : 239-44
32. Kasantikul V, Shuangshoti S, Preechayudh P, Wangsuphachart S. A combined nemilemmoma and angioma of the parasellar region. *J Neurosurg* 1987 Aug; 67(2) : 307-11
33. Van Eldik LJ, Jensen RA, Ehrenfried BA, Whetsell WO, Jr. Immunohistochemical localization of S 100 beta in human nervous system tumors by using monoclonal antibodies with specificity for the S 100 beta polypeptide. *J Histochem Cytochem* 1986 Aug; 34(8) : 977-82
34. Nakamura Y, Becker LE, Marks A. Distribution of immunoreactive S-100 protein in pediatric brain tumors. *J Neuropathol Exp Neurol* 1983 Mar; 43(2) : 136-45
35. Stefansson K, Wollmann R, Jerkovic M. S-100 protein in soft-tissue tumors derived from schwann cells and melanocytes. *Am J Pathol* 1982 Feb; 106(2) : 261-8
36. Mirshahi M, Faure JP, Brisson P, Falcon J, Guerlotte J, Collin J. S-antigen immunoreactivity of retinal rods and cones and pineal photosensitive cells. *Biol Cell* 1984; 52(2) : 195-8
37. Donoso LA, Merryman CF, Edelberg KE, Naids R, Kalsow C. S-antigen in the developing retina and pineal gland : a monoclonal antibody study. *Invest Ophthalmol Vis Sci* 1985 Apr; 26(4) : 561-7
38. Mirshahi M, Boucheix C, Dhermy P, Haye C, Faure JP. Expression of the photoreceptor-specific S - antigen in human retinoblastoma. *Cancer* 1986 Apr; 51(8) : 1497-500
39. Korf HW, Klein DC, Zigler JS, Gery I, Schachenmayr W. S - antigen-like immunoreactivity in a human pinealocytoma. *Acta Neuropathol* 1986; 69(1-2) : 165-7
40. Itoyama Y, Sternberger NH, Kies MW, Cohen SR, Richardson EP Jr, Webster H. Immunocytochemical method to identify myelin basic protein in oligodendroglia and myelin sheaths of the human nervous system. *Ann Neurol* 1980 Feb; 7(2) : 157-66
41. Figols J, Iglesias-Rozas JR, Kazner E. Myelin basic protein (MBP) in human gliomas. A study of 25 cases. *Clin Neuropathol* 1985 May-Jun; 4(3) : 116-20
42. Mogollon R, Penneys NS, Albores-Saavedra J, Nadji M. Malitnant schwannoma presenting as a skin mass. Confirmation by the demonstration of myelin basic protein within tumor cells. *Cancer* 1984 Mar 1; 53(5) : 1190-3
43. Penneys NS, Mogollon R, Kowalezyk A, Nadji M, Adachi K. A survey of cutaneous neural lesions for the presence of myelin basic protein. An immunohistochemical study. *Arch Dermatol* 1984 Feb; 120(2) : 210-3
44. Clark HB, Minesky JJ, Agrawal D, Agrawal HC. Myelin basic protein and P2 protein are not immunohistochemical markers for schwann cell neoplasms. A comparative study using antisera to S 100, P2 and myelin basic proteins. *Am J Pathol* 1985 Oct; 121(1) : 96-101
45. Stefansson K, Molnar ML, Marton LS, Molnar GK, Minovilovic M, Tripathi RC. Myelin-associated glycoprotein in human retina. *Nature* 1984 Feb 9-15; 307(5951) : 548-50
46. Zurbriggen A, Vandervelde M, Steck A, Angel B. Myelin-associated glycoprotein is produced

- before myelin basic protein in cultured oligodendrocytes. *J Neuroimmunol* 1984 Feb; 6(1) : 41-9
47. Hassoun J, Monges G, Giraud P, Henry JF, Charpin C, Payan H, Toga M. Immunohistochemical study of pheochromocytomas. An investigation of methionine-enkephalin, vasoactive intestinal peptide, somatostatin, corticotropin, beta-endorphin and calcitonin in 16 tumors. *Am J Pathol* 1984 Jan; 114(1) : 56-63
48. Sano T, Saito H, Yamasaki R, Hosoi E, Kameyama K, Saito S, Hirose T, Hizawa K. Production and secretion of immunoreactive growth hormone-releasing factor by pheochromocytomas. *Cancer* 1986 May; 57(9) : 1788-93.
49. Sonneland PRL, Scheithauer BW, Le Chago J, Crawford BG, Onofrio BW. Paraganglioma of the cauda equina region. Clinicopathologic study of 31 cases with special reference to immunocytoLOGY and ultrastructure. *Cancer* 1986 Oct; 58(8) : 1720-35
50. Salisbury JR, Isaacson PG. Demonstration of cytokeratins and an epithelial membrane antigen in chordomas and human fetal notochord. *Am J Surg Pathol* 1985 Nov; 9(11) : 791-7
51. Schnitt SJ, Vogel H. Meningiomas. Diagnostic value of immunoperoxidase staining for epithelial membrane antigen. *Am J Surg Pathol* 1986 Sep; 10(9) : 640-9
52. Perentes E, Nakagawa Y, Ross GW, Stanton C, Rubinstein LJ. Expression of epithelial membrane antigen in perineurial cells and their derivatives. An immunohistochemical study with multiple markers. *Acta Neuropathol* 1987; 75(2) : 160-5
53. Hitchcock E, Morris CS. Cross reactivity of anti-epithelial membrane antigen monoclonal for reactive and neoplastic glial cells. *J Neurooncol* 1987; 4(4) : 345-52
54. Sloane JP, Hughes F, Ormerod MG. An assessment of the value of epithelial membrane antigen and other epithelial markers in solving diagnostic problems in tumour histopathology. *Histochem J* 1983 Jul; 15(7) : 645-54
55. Sloane JP, Ormerod MG. Distribution of epithelial membrane antigen in normal and neoplastic tissues and its value in diagnostic tumor pathology. *Cancer* 1981 Apr; 47(7) : 1786-95
56. Hoyer LW, De Los Santos RP, Hoyer JR. Anti-hemophilic factor antigen : localization in endothelial cells by immunofluorescent microscopy. *J Clin Invest* 1973 Nov; 52(11) : 2737-44
57. Mukai K, Rosai J, Burgdorf WHC. Localization of factor VIII-related antigen in vascular endothelial cells using an immunoperoxidase method. *Am J Surg Pathol* 1980 Jun; 4(3) : 273-6
58. Guarda LA, Ordonez NG, Smith JL Jr, Hanssen G. Immunoperoxidase localization of Factor VIII in angiosarcomas. *Arch Pathol Lab Med* 1982 Oct; 106(10) : 515-6
59. McComb RD, Jones TR, Pizzo SV, Bigner DD. Localization of Factor VIII/von Willebrand factor and glial fibrillary acidic protein in the hemangioblastoma: implications for stromal cell histogenesis. *Acta Neuropathol* 1982; 56(3) : 207-13
60. Miyagami M, Smith BH, McKeever PE, Chronwall BM, Greenwood MA, Kornblith PL. Immunocytochemical localization of factor VIII-related antigen in tumors of human central nervous system. *J Neurooncol* 1987; 4(3) : 269-85
61. Hothofer H, Virtanen I, Kariniemi A-L, Homia M, Linder E, Miettinen A. Ulex europaeus I lectin as a marker for vascular endothelium in human tissues. *Lab Invest* 1982 Jul; 47(1) : 60-6
62. Ordonez NG, Batsakis JG. Comparison of Ulex europaeus I lectin and factor VIII-related antigen in vascular lesions. *Arch Pathol Lab Med* 1984 Feb; 108(2) : 129-32
63. Epstein JI, White Cl3d, Mendelsohn G. Factor VIII related antigen and glial fibrillary acidic protein immunoreactivity in the differential diagnosis of central nervous system hemangioblastomas. *Am J Clin Pathol* 1984 Mar; 81(3) : 285-92
64. Schelper RL, Olson SP, Carroll TJ, Hart MN, Witters E. Studies of the endothelial origin of cells in systemic angiomyomatosis and other vascular lesions of the brain and meninges using Ulex europaeus lectin stains. *Clin Neuropathol* 1986 Nov-Dec; 5(6) : 231-7
65. Jurco S 3d, Nadji M, Harvey DG, Parker JC Jr, Font RL, Morales AR. Hemangioblastomas : histogenesis of the stromal cells studied by immunocytochemistry. *Human Pathol* 1982 Jan; 13(1) : 13-8
66. Kawakami Y, Tabuchi K, Ohnishi R, Asari S, Nishimoto A. Primary central nervous system lymphoma. *J Neurosurg* 1984 Apr; 62(4) : 522-7
67. Simon J, Jones EL, Trumper MM, Salmon MV. Malignant lymphomas involving the central nervous system-a morphological and immunohistochemical study of 32 cases. *Histopathology* 1987 Apr; 11(4) : 335-49

68. So YT, Beckstead JH, Davis RL. Primary central nervous system lymphoma in acquired immune deficiency syndrome: a clinical and pathological study. *Ann Neurol* 1986 Nov; 20(5) : 566-7.
69. Houthoff HJ, Poppema S, Ebels EJ, Elema JD. Intracranial malignant lymphomas. A morphologic and immunocytologic study of twenty cases. *Acta Neuropathol* 1978 Dec; 44(3) : 203-10
70. Taylor CR, Russell R, Lukes RJ, Davis RL. An immunohistological study of immunoglobulin content of primary central nervous system lymphomas. *Cancer* 1978 Jun; 41(6) : 2197-205
71. Alguacil-Garcia A, Pettigrew NM, Sima AAC. Secretory meningioma. A distinct subtype of meningioma. *Am J Surg Pathol* 1986 Feb; 10(2) : 102-11
72. Budka H. Hyaline inclusions (pseudopsammoma bodies) in meningiomas: immunocytochemical demonstration of epithelial-like secretion of secretory component and immunoglobulins A and M. *Acta Neuropathol* 1982; 56(4) : 294-8
73. Bjornsson J, Scheithauer BW, Okazaki H, Leech RW. Intracranial germ cell tumors: pathobiological and immunohistochemical aspects of 70 cases. *J Neuropathol Exp Neurol* 1985 Jan; 44(1) : 32-46
74. Naganuma H, Inoue H, Misumi S, Nakamura M, Tamura M. Intracranial germ-cell tumors. Immunohistochemical study of three autopsy cases. *J Neurosurg* 1984 Nov; 61(5) : 931-7
75. Shinoda J, Miwa Y, Sakai N, Yamada H, Shima H, Kato K, Takahashi M, Shimokawa K. Immunohistochemical study of placental alkaline phosphatase in primary intracranial germ cell tumors. *J Neurosurg* 1985 Nov; 63(5) : 733-9
76. Rueda-Pedraza ME, Heifetz SA, Sesterhenn IA, Clark GB. Primary intracranial germ cell tumors in the first two decades of life. A clinical, light microscopic, and immunohistochemical analysis of 54 cases. *Persp Pediatr Pathol* 1987; 10 : 160-207
77. Shokry A, Janzer RC, Von Hochstetter AR, Yasargil MG, Hederer C. Primary intracranial germ-cell tumors. A clinicopathological study of 14 cases. *J Neurosurg* 1985 Jun; 62(6) : 826-30
78. Rohmer V, Saint-Andre J-P, Alhenc-Gelas F, Corvol P, Bigorgne JC. Angiotensin 1-converting enzyme in a suprasellar germinoma. *Am J Clin Pathol* 1987 Feb; 87(2) : 281-4
79. Kemshead JT, Ritter MA, Cotmore SF, Greaves MF. Human Thy-1 : expression on the cell surface of neuronal and glial cells. *Brain Res* 1982 Mar; 236(2) : 451-61
80. Perentes E, Rubinstein LJ. Immunohistochemical recognition of human nerve sheath tumors by anti-Leu 7(HNK-1) monoclonal antibody. *Acta Neuropathol* 1985; 68(4) : 319-24
81. Wick MR, Swanson PE, Scheithauer BW, Manivel JC. Malignant peripheral nerve sheath tumor. An immunohistochemical study of 62 cases. *Am J Clin Pathol* 1987 Apr; 87(4) : 425-33
82. Tischler AS, Mobtaker H, Mann K, Nunemacher G, Jason WJ, Dayal Y, DeLellis RA, Adelman L, Wolfe HJ. Anti-lymphocyte antibody Leu-7 (HNK-1) recognize a constituent of neuroendocrine granule matrix. *J Histochem Cytochem* 1986 Sep; 34(9) : 1213-6
83. Motoi M, Yoshino T, Hayashi K, Nose S, Horie Y, Ogawa K. Immunohistochemical studies on human brain tumors using anti-Leu 7 monoclonal antibody in paraffin-embedded specimens. *Acta Neuropathol* 1985; 66(1) : 75-7
84. Perentes E, Rubinstein LJ. Immunohistochemical recognition of human neuroepithelial tumors by anti-Leu 7 (HNK-1) monoclonal antibody. *Acta Neuropathol* 1986; 69(3-4) : 227-33
85. Meis JM, Ordonez NG, Bruner JM. Meningiomas. An immunohistochemical study of 50 cases. *Arch Pathol Lab Med* 1986 Oct; 110(10) : 934-7
86. Kasantikul V, Shuangshoti S, Cutchavaree A, Bunyaphiphat P. Parapharyngeal malignant ectomesenchymoma : combined malignant fibrous histiocytoma and primitive neuroectodermal tumour with neuroglial differentiation. *J Laryngol Otol* 1987 May; 101(5) : 508-15
87. Leader M, Patel J, Collins M, Henry K. Anti- $\alpha$ -1-antichymotrypsin staining of 194 sarcomas, 38 carcinomas, and 17 malignant melanomas. Its lack of specificity as a tumour marker. *Am J Surg Pathol* 1987 Feb; 11(2) : 113-9
88. Shuangshoti S. Transthyretin : review of the literature. *Chula Med J* 1988 Aug; 33(9) : 637-42
89. Kasantikul V, Shuangshoti S. Pituitary adenomas : immunohistochemical study of 90 cases. *J Med Assoc Thai* (in press)
90. Kasantikul V. Pituitary adenomas : current classification. *Chula Med J* 1989 Aug; 33(8) : 569-74